

تأهيل بناء بيتوبي مسلح باستخدام تربيط معدني لا مركزي مع إجراء دراسة بارامترية لسماكه وصلة القص

جهاز سليم صبيح¹ رياض العيسى² هالة حسن³

¹. طالب دكتوراه، قسم الهندسة الإنسانية، كلية الهندسة المدنية، جامعة دمشق.

JihadSobaih@Damascusuniversity.edu.sy

². أستاذ قسم الهندسة الإنسانية، كلية الهندسة المدنية، جامعة دمشق.

RiadAlissa@Damascusuniversity.edu.sy

³. أستاذ قسم الهندسة الإنسانية الزلزالية، المعهد العالي للبحوث والدراسات الزلزالية، جامعة دمشق.

hala.hasan@damascusuniversity.edu.sy

الملخص:

تحتاج العديد من الأبنية القائمة المصممة قبل صدور كود التصميم الزلالي لنظام تقوية فعال لتحسين الأداء، ويمكن باستخدام التربيط المعدني اللامركزي تحقيق ذلك من خلال زيادة المقاومة والمطابقة وتحسين تبديد الطاقة وتدارك نقص الصلابة الذي قد يحدث عند زيادة التشوه، إضافة للعديد من الميزات المهمة كخففة الوزن وسهولة التركيب والصيانة والمعالجة بعد التعرض لهزات قوية، كما ويسمى في تقليل الفتل في الذي تعاني منه العديد من المباني المدرسية غير المنتظمة أفقياً.

تم تطبيق دفع جانبي متزايد pushover وإيجاد منحني استطاعة البناء المدروس قبل وبعد التقوية باستخدام وصلة قصية بسماكات مختلفة، وتحديد نقطة الأداء ومستوى الأداء.

وقد تبين أنه بعد التقوية بالنظام المقترن ذي الكفاءة العالية زادت الصلابة، والتشوه الأعظمي وزاد تبديد الطاقة مما قلل الطلب ومستوى الضرر وحسن الأداء في الاتجاه المدروس، وأظهرت الدراسة البارامترية المجرأة للمقارنة بين سماكاتات مختلفة للوصلة القصية أن موقع نقطة الأداء على منحني الاستطاعة قد تغير محققاً أفضل أداء باستخدام وصلة سماكتها 5سم حيث ارتفع ليصبح مستوى إشغال فوري بينما يبقى في مستوى حفظ الحياة باستخدام السماكتين الأقل منها والأكثر منها هما 4 و 7.5سم، وبذلك تحقق أفضل أداء للبناء المقوى.

الكلمات مفتاحية: بناء بيتوبي مسلح، التربيط المعدني اللامركزي، دفع جانبي متزايد pushover، عدم انتظام أفقى، دراسة بارامترية، سماكة الوصلة القصية.

تاريخ الإيداع: 2023/1/4

تاريخ القبول: 2023/6/20



حقوق النشر: جامعة دمشق -
سورية، يحتفظ المؤلفون بحقوق
النشر بموجب CC BY-NC-SA

Rehabilitation RC Structure Using Eccentric Metallic Bracing and parametric study to Shear Link Thickness

Jihad Saleem Sobaih^{*1} Riad Alissa² Hala Hasan³

^{*1}. Doctorate candidate, structural engineering Department, Faculty of civil engineer, Damascus University, Damascus, Syria.
JihadSobaih@Damascusuniversity.edu.sy

². Professor at the structural engineering Department, Faculty of civil engineer, University of Damascus, Damascus, Syria. RiadAlissa@Damascusuniversity.edu.sy

³. Professor at the Seismic Structural Engineering Department, Higher Institute of Seismological Studies and Research, University of Damascus, Damascus, Syria
hala.hasan@damascusuniversity.edu.sy

Abstract:

Many existing buildings designed before the seismic code need effective bracing system to improves performance, the eccentric bracing can improve the resistance and ductility, and improve energy dissipation , compensate the lack of stiffness that may occur when deformation increases, beside many of important Advantages such as light weight, ease of installation and maintenance after exposure to strong shocks, and can contribute in torsion reduce in many irregular horizontally school buildings.

The capacity curves of the studied building was found by applying pushover to it before and after bracing by using different thicknesses of the shear link, and determining the performance point and performance level.

Proposed system increased stiffness, the maximum deformation, and the energy dissipation due to its high efficiency, which reduced the demand and the level of damage and improved the performance in the studied direction. It was performed by using a shear link of 5 cm thickness, as it increased to become an immediate occupancy level, while it remained at the level of life safety by using the two thicknesses 4 and 7.5 cm which are less than and more than 5 cm, thus achieving the best performance of the braced construction.

Keywords: Reinforced concrete building, eccentric metal bracing, pushover analysis, horizontal irregularity, parametric study, shear link thickness.

Received: 4/1/2023

Accepted: 20/6/2023



Copyright: Damascus University- Syria, The authors retain the copyright under a CC BY- NC-SA

اهتم البحث بدراسة الأبنية البيتونية القائمة لتقديرها وإيجاد مستوى أدائها مباشرة مع اعتبار التخميد اللدن وفق طريقة الطيف اللدن المعدل الواردة في (FEMA 440، 2005) والمطورة في (ASCE/SEI 41 – 17, 2017) بإضافة عمود تربط واحد لتقليل الفتل وزيادة المقاومة وتحسين المطاوعة وتبديد الطاقة وتقليل الطلب.

3- تعريف ومصطلحات أساسية:

- تصميم الأبنية على أساس الأداء : Performance-Based Building Designs,PBBD يستخدم نهج الأداء في التصميم الزلالي للمبني والجسور لتبقى سليمة بعد زلزال منخفض الشدة، وفي مأمن من الانهيار بتأثير زلزال شديد. أما المبني العامة كالمستشفيات وقاعات الإطفاء فيجب أن تبقى جاهزة للعمل على الفور بعد وقوع زلزال شديد.
- تحليل الدفع الجانبي статики اللاخطي PUSHOVER: لإيجاد مقاومة المبني لتحميل جانبي متزايد باستخدام تقنيات إما الدفع الجانبي أو الانزياح المتزايد أو استخدام النهج التكيفية، مما يوفر معلومات مفيدة عن الخصائص العامة للنظام الإنسائي، ويحدد ميكانيزمات الانهيار المحتملة، وذلك بأفضل تقرير للسلوك غير الخطى المتوقع استجابةً للحركات الأرضية.

4- إجراءات التقييم:

التقييم يستند لإيجاد نقطة الأداء التي تقع على منحنى الاستطاعة عند تقاطعه مع منحنى الطلب اللدن كما بين الشكل (1)، يمكن إيجاد الانتقال الأعظمي d_i من تقاطع الطلب اللدن مع الدور الفعال T_{eff} ثم اختبار توافقه مع الانتقال على المنحنى شأي الخطية المكافئ لمنحنى الاستطاعة dp_i وكلاهما تابع للمطاوعة μ فإن كان هناك

المقدمة:

يحتوي تصميم العديد من الأبنية المدرسية على عدم انتظام أفقى، حيث أن مسقطها بشكل "L" مما يضخم الاستجابة الديناميكية نتيجة الفتل عند تعرضها لزلزال قوى، وعمليّة معالجة الضعف تتطلب إضافة عناصر مقاومة للعزم أكثر مرنة، لزيادة مقاومة البناء من غير زيادة كبيرة في القساوة وتحسين توزيع القوى، وتتطلب دقة في التقييم والتصميم للتقوية اللازمة، واستخدام صحيح لتقنية التقوية الموافقة لخصائص ونموذج المنشأ، وهي عملية معقدة وأصعب بكثير من الإنشاء الجديد. (Rai, D. C, 2005).

ومن الحلول الهامة استخدام التربيط المعدني الامركي الممكن تركيبه على الجملة الإنسانية المحيطية خارجياً بشكل سهل وسريع لضمان استمرار عمل المنشأ، وتحقيق السلامة ومعالجة الضعف ورفع الأداء للمستوى المستهدف بعد التأهيل(Azad, 2017) ، فعند تركيب نظام التقوية المعدنية المقترن تزيد الصلابة، والانتقال الأقصى لمراكز الثقل بعد تقليل الفتل، زاد تبديد الطاقة بسبب الكفاءة العالية لنظام التقوية مما يقلل الطلب ويسهل الأداء ، (Durucan et al 2009) يمكن المعاوضة بين سماكات مختلفة واختيار السماكة الأمثلية لصفحة الوصلة الفضية حسب الأداء المحقق بعد التربيط.

1- هدف البحث وأهميته:

يهدف البحث إلى إجراء دراسة بارامترية تحدد الأداء الأمثلى للبناء ككل بعد تربيطه بنظام معدنى لامركزي، وتقييم الأداء في كل مرة لتحديد الأداء الأفضل واختيار السماكة الأنسب (وتطبيقاتها على التدعيم المقترن لبناء مدرسي).

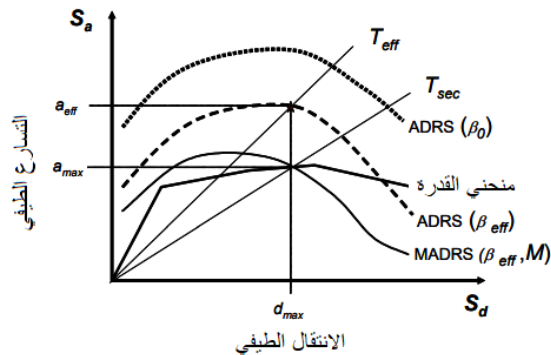
2- حدود البحث:

صبيح، العيسى و حسن

تأهيل بناء بيتوني مسلح باستخدام تربيط معدني لا مركزى.....

$$a_{eff} = \left[\frac{2\pi}{T_{eff}} \right]^2 d_{max} \quad \dots(3)$$

$$M = \left[\frac{T_{eff}}{T_{sec}} \right]^2 = \left[\frac{a_{max}}{a_{eff}} \right] \quad \dots(4)$$



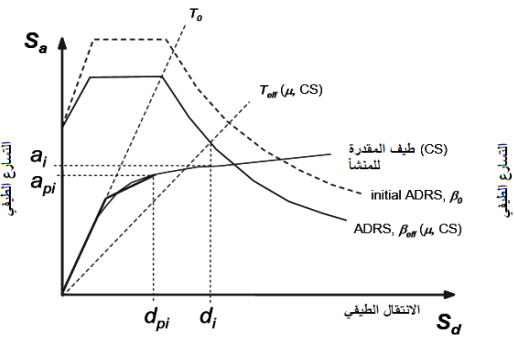
الشكل(2) طيف الاستجابة المعدل للانتقال - التسارع

(Comartin, 1996) يتقطع مع الدور القاطع

يبين الشكل (3) مخطط المنهجية التقليدية لإيجاد نقطة الأداء والتحقق من هدف الأداء.

تم التحقق من دقة تقييم الوضع الراهن للبناء القائم بإجراء تحليل ترددى له لإيجاد تردداته الأساسية لتفويته إلى مستوى الأداء المستهدف، وهو تقييم يرتبط بمؤشرات التلذن والانهيار والمطابعة، ويراعي الجدوى الاقتصادية من خلال تصميم المبنى بمستوى أمان يتناسب مع العمر المتبقى لضمان سلامة الحياة لشاغليه بتأثير الزلزال الأقصى، والحفاظ عليه مع ضرر غير إنشائى بتأثير الزلزال المتوقع، وتوظيف الخصائص المحددة لمعايرة المنحنى ثنائى الخطية، والتبع باستجابة المبنى الفعلية، حيث يتم إيجاد نقطة الأداء كما هو مبين في الشكل (4).

توافق في المطابعة بتسامح 5% كانت النقطة مقبولة وإلا يجب تغيير قيمة μ وبدء العملية من جديد.



الشكل(1) إجراء إيجاد نقطة الأداء (Comartin, 1996).

بعد إيجاد انتقال نقطة الأداء d_{max} بقى إيجاد a_{max} وهي تقع على المنحنى ثنائى الخطية المكافئ لطيف الاستطاعة كما يبين الشكل (2) وتنتج من تقاطعه مع الدور القاطع T_{sec} ومع الطلب الزلزالي اللدن المعدل، حيث يستخدم عامل التعديل M المبين في العلاقة (1) لإيجاد الطيف المعدل للاستجابة التسارع- الانزياح ، (M, β_{eff}) ADRS انطلاقاً من منحنى الطلب اللدن (β_{eff}) حيث:

$$M = \left[\frac{T_{eff}}{T_0} \right]^2 * \left[\frac{T_0}{T_{sec}} \right]^2 = \left[\frac{T_{eff}}{T_{sec}} \right]^2 \dots(1)$$

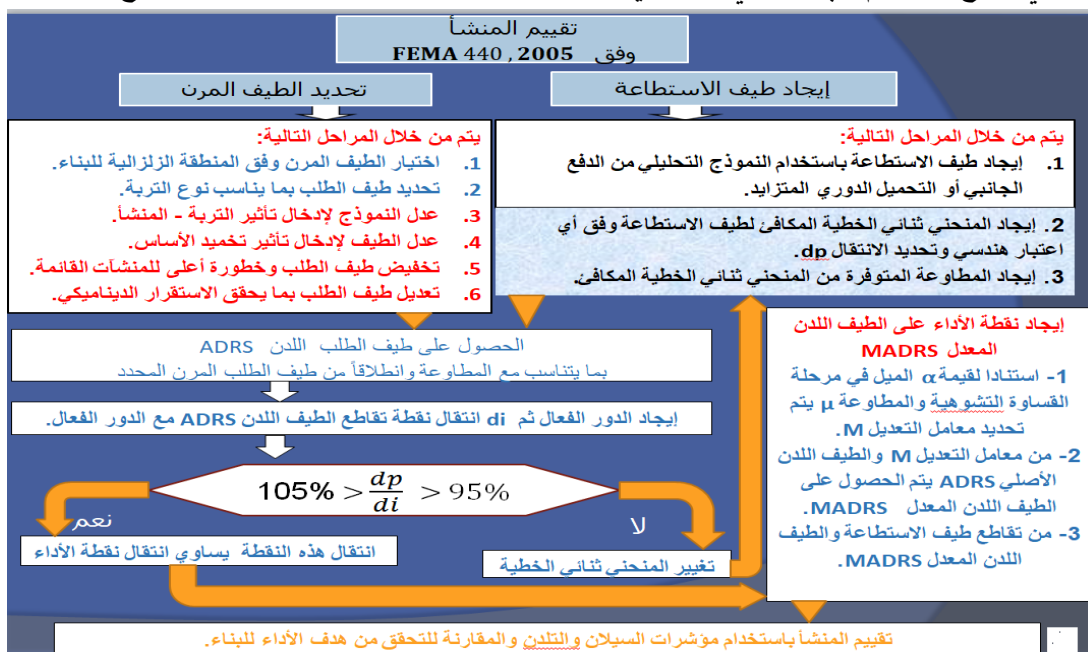
T_0 الدور المرن، T_{eff} الدور اللدن، T_{sec} الدور المعدل القاطع لمنحنى الاستطاعة.

يمكن استنتاج قيمة M من نسبة التسارعين الأعظمي والفعال الواردتين في العلاقات 2 و 3 وإيجاد العلاقة 4.

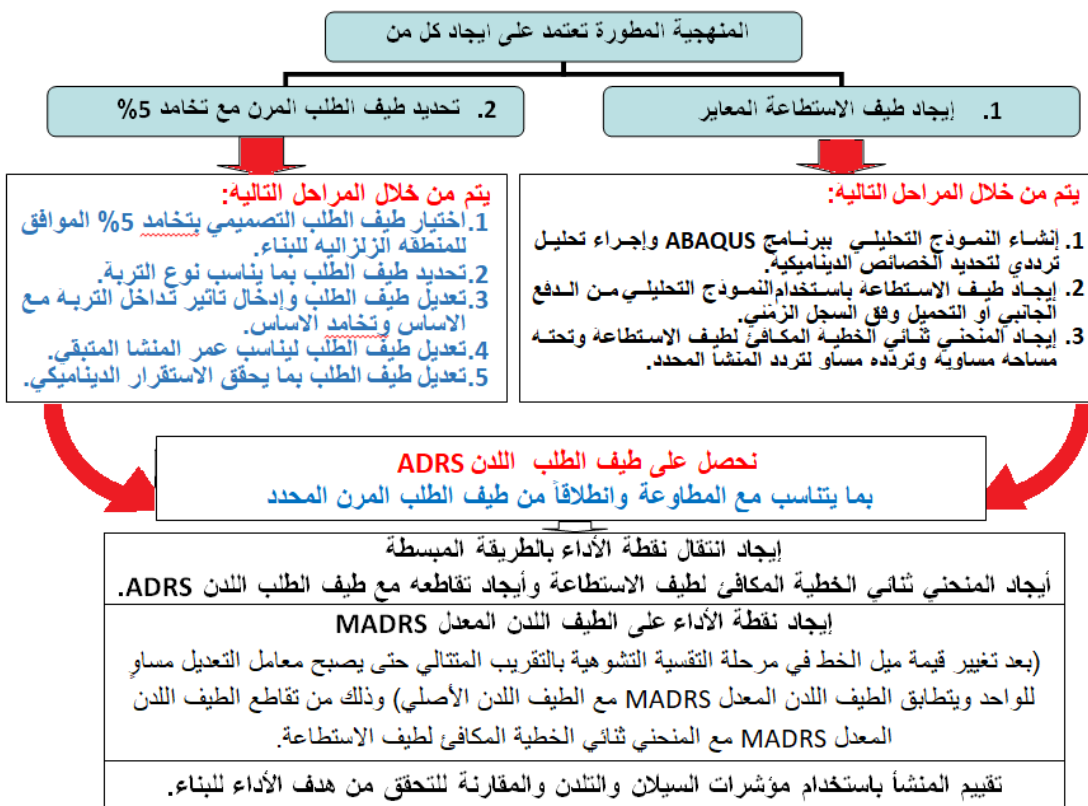
$$a_{max} = \left[\frac{2\pi}{T_{sec}} \right]^2 d_{max} \quad \dots(2)$$

صبيح، العيسى و حسن

تأهيل بناء بيتوني مسلح باستخدام تربيط معدني لا مركزي.....

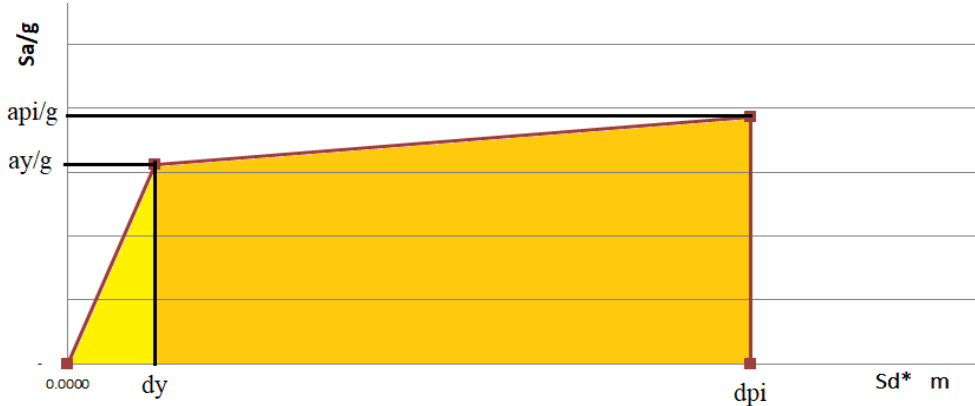


الشكل (3) مخطط التحليل статистيكي اللاخطي اعتماداً على الدور الفعال والتخميد الفعال. (FEMA-440, 2005)



الشكل (4) المنهجية المقترنة لإيجاد نقطة الأداء وتقييم المنشآ.

يتم إيجاد المنحني ثائي الخطية المكافئ لمنحني الاستطاعة بتعيين القيم ap_i, dy, ay التسارع النسبي عند السيلان وعند الانهيار المبينين في الشكل (5).



الشكل (5) المنحني ثائي الخطية المكافئ لمنحني الاستطاعة والمتوافق للتردد المحدد للبناء، (FEMA 440,2005)

حيث ميل المرحلة المزنة للعلاقة بين المقاومة والانتقال يتناسب مع مربع التردد f وفق العلاقة (6):

$$\frac{ay}{g \cdot dy} = \frac{(2\pi \cdot f)^2}{g} \quad \dots (6)$$

الطاقة المبددة المعبر عنها بالمساحة A تحت منحني الاستطاعة مماثلة للمساحة المحصورة أسفل المنحني ثائي الخطية ويمكن إيجاد ap_i من العلاقة (7) وذلك بفرض أن $RC = 0.8$ وفق (FEMA 440,2005) :

$$[ap]_i = RC * [ap]_{max} \quad \dots (7)$$

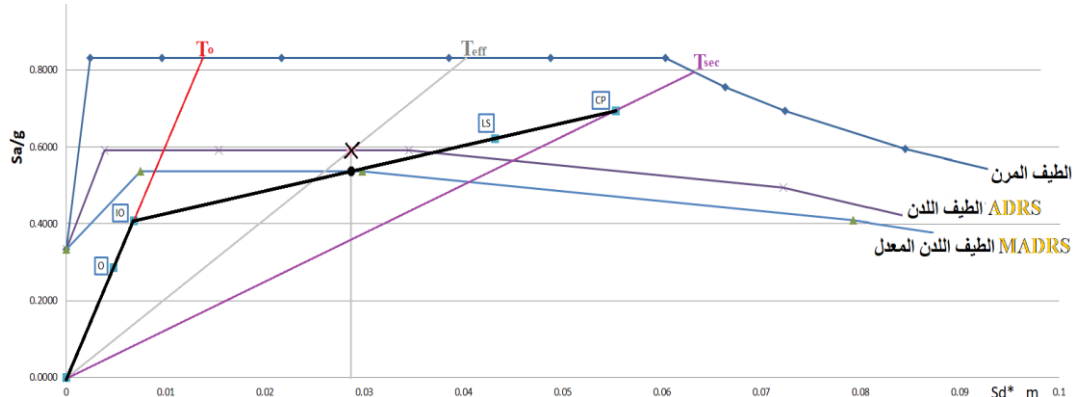
ثم إيجاد dy (الانتقال عند حد السيلان)، وذلك باستخدام العلاقة (8).

$$dy = \frac{A - dpi \cdot ap_i / 2}{(2\pi \cdot f)^2 \cdot dpi / 2g - ap_i / 2} \quad \dots (8)$$

ثم إيجاد التخميد الفعال والدور الفعال β_{eff} التابعين للمطابعة μ باستخدام العلاقات رقم (9)-(10)-(11)-(12)-(13)-(14) وفق (ASCE/SEI 41-17,2017) وفق (14)-(13)

$\frac{T_{eff}}{T_0} = 0.2 * (\mu - 1)^2 - 0.038 * (\mu - 1)^3 + 1 \quad \dots 9$	$\mu < 4$
$\beta_{eff} = 4.9 * (\mu - 1)^2 - 1.1 * (\mu - 1)^3 + 5 \quad \dots 10$	
$\frac{T_{eff}}{T_0} = 0.28 + 0.13 * (\mu - 1) + 1 \quad \dots 11$	$4 \leq \mu \leq 6.5$
$\beta_{eff} = 14 + 0.32 * (\mu - 1) + 5 \quad \dots 12$	
$\frac{T_{eff}}{T_0} = 0.89 * \sqrt{\frac{(\mu - 1)}{(1 + 0.05 * (\mu - 2))}} - 1 + 1 \quad \dots 13$	$6.5 < \mu$
$\beta_{eff} = 19 * \left[\frac{0.64 * (\mu - 1) - 1}{(0.64 * (\mu - 1))^2} \right] * \left(\frac{T_{eff}}{T_0} \right)^2 + 5 \quad \dots 14$	

ثم أجل إيجاد الطيف اللدن وتحديد انتقال نقطة الأداء من تقاطعه مع منحني الاستطاعة كما في الشكل (6).



الشكل (6) تقاطع منحني ثانوي الخطية المكافئ لمنحني الاستطاعة مع منحني الطلب اللدن المعدل الموافق له بالمطاوعة.

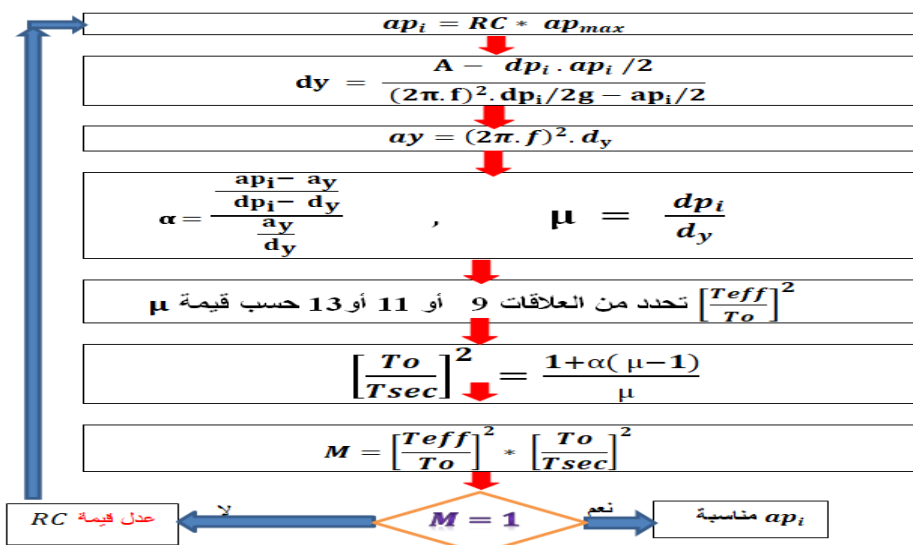
وفقاً للطريقة المحسنة الحصول على الطيف اللدن المعدل بالضرب بالعامل M الوارد في العلاقة (1):

$$M = \left[\frac{T_{eff}}{T_o} \right]^2 * \left[\frac{T_o}{T_{sec}} \right]^2 \quad \dots(1)$$

حيث $\left[\frac{T_{eff}}{T_o} \right]^2$ معطاة بالعلاقات من (9) حتى (14) و $\left[\frac{T_o}{T_{sec}} \right]^2$ يمكن إيجادها من العلاقة (15):

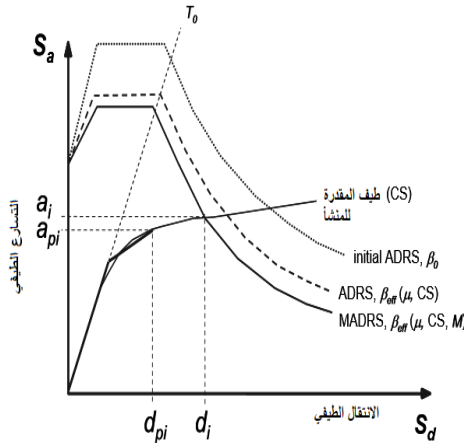
$$\left[\frac{T_o}{T_{sec}} \right]^2 = \frac{1 + \alpha(\mu - 1)}{\mu} \quad \dots(15)$$

α الميل في مرحلة التشوّهية ويمكن بالتقريب المتالي تحديده ليعطى $M = 1.00$ وفق الشكل (7):

الشكل (7) مخطط التقريب المتالي لتحديد قيمة α التي ينتج عنها عامل التعديل مساوٍ للواحد.

ثم إيجاد قيمة ai ثم di الواقع على مخطط المقدرة، وإيجاد قيمة μ لهذه النقطة والتي ينبغي مقارنتها مع قيمة μ المستخدمة فإن كان الفارق ضمن حدود التسامح 5% لقيمة μ كانت النقطة مقبولة وإلا يتم تغيير قيمة μ والانطلاق في العملية من جديد مع

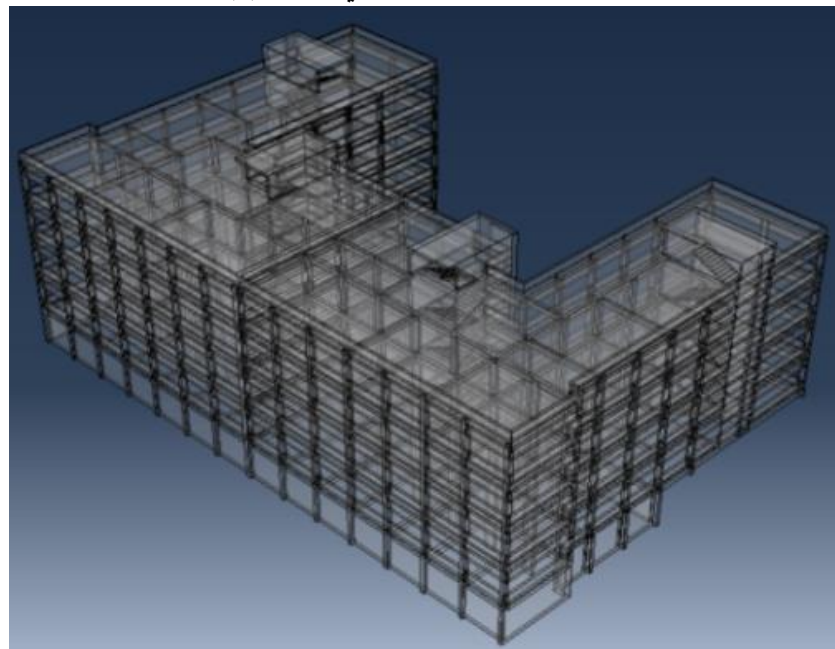
تأهيل بناء بيتوني مسلح باستخدام تربيط معدني لا مركزي
 إحداثيات جديدة لـ a_p و d_p ، ثم رسم منحني الطيف اللدن المعدل وإيجاد انتقال نقطة الأداء من تقاطعه مع منحني الاستطاعة كما في الشكل (8).



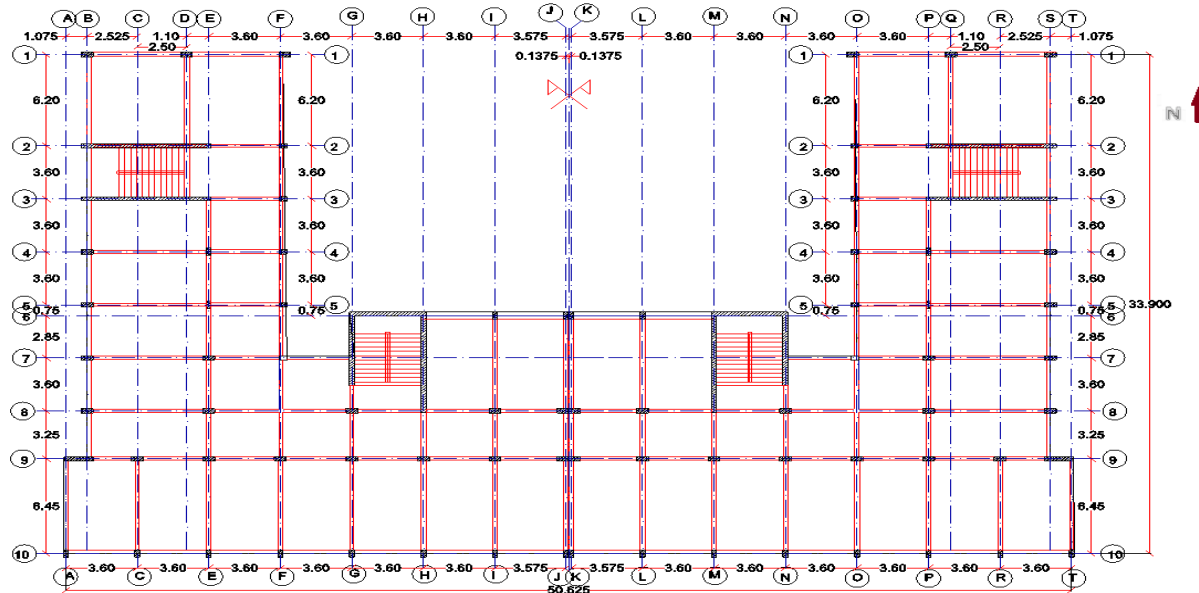
الشكل (8) نقطة الأداء من تقاطع منحني الطلب المعدل ومنحني الاستطاعة للبناء (FEMA 440, 2005).

5- النموذج التحليلي للبناء: توصيف البناء (الحالة العملية المدرosaة):

بناء مدرسي تم إنشاؤه في سبعينيات القرن الماضي ويعد نموذجاً متكرراً عن الأبنية المدرسية، مكون من كتلتين متلاصقتين من طوابق وقبو جزئي، أبعاده $30 * 50 \text{ m}^2$ ، منظور ومسقط البناء مبينين في الشكل (9).



الشكل (9-أ) منظور الجملة الإنسانية للبناء.

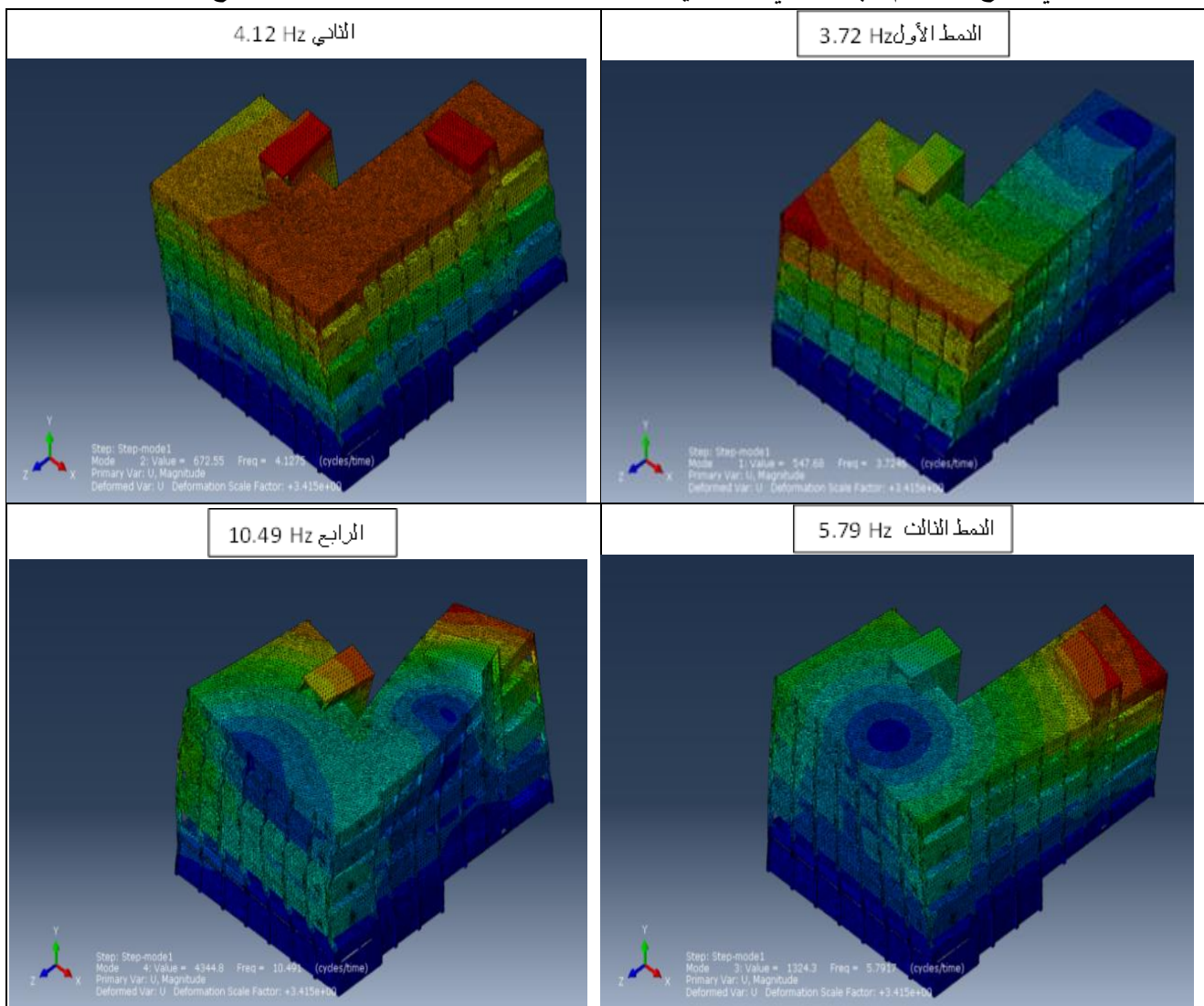


الشكل (9-ب) مسقط الطابق المكرر للبناء.

الأساسات منفردة والتأسيس على منسوبين وتم الاستفادة من انحدار الأرض وعمل قبو في المنطقة الأخضر، والجملة الحاملة إطارات من البيتون مكون من أعمدة بأبعاد حتى $70*25$ وجوائز ساقطة بأبعاد حتى $35*85$ وسقف بلاطة هوردي سمك 25 سم، وهناك جدران حاملة من البيتون المسلح عرض 25 cm .

6- تحليل المنشأ لإيجاد الخصائص الديناميكية:

- a نمط التحليل: تحليل ترددی frequency باستخدام برنامج ABAQUS 6.14-1 لتحديد أشكال أنماط الاهتزاز الأساسية ودورها.
- b نتائج التحليل: أشكال أنماط الاهتزاز كما في الشكل (10). وتراوحتها واتجاهاتها وفي الجدول (1).

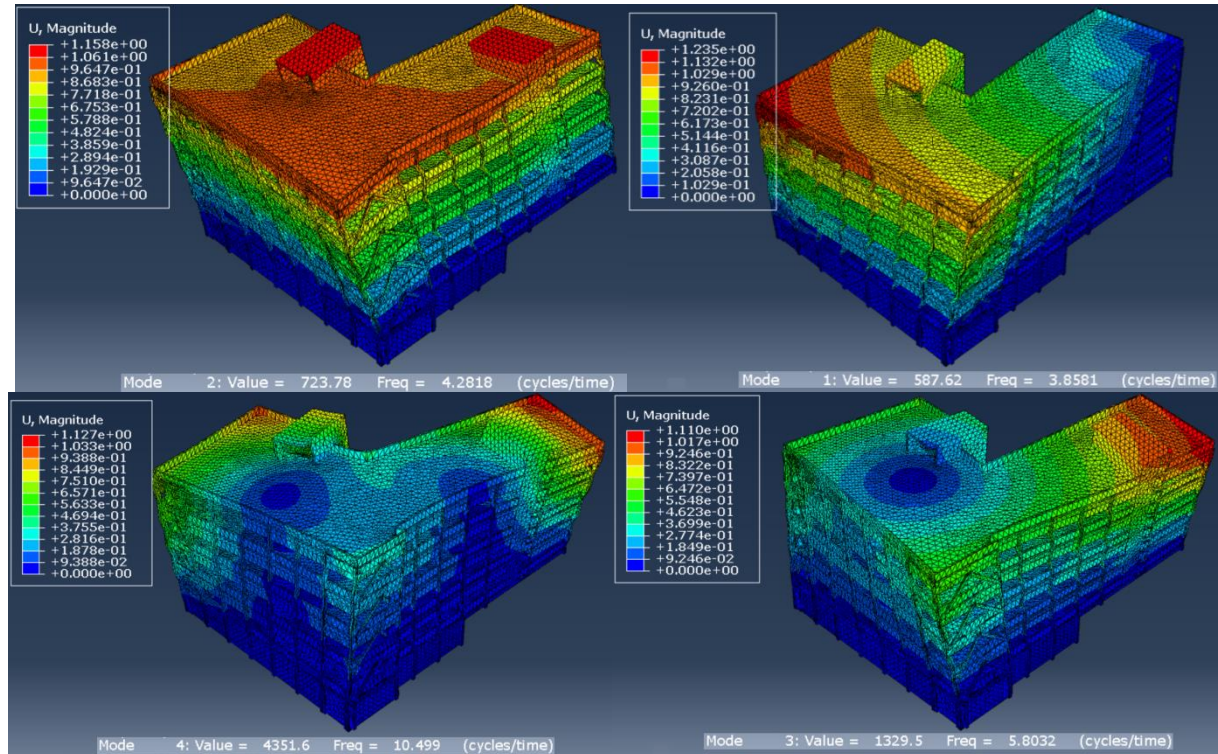


الشكل (10) أشكال وترددات أنماط الاهتزاز الأولى الأربع للبناء.

الجدول (1) ترددات الأنماط واتجاهاتها نتيجة الدراسة التحليلية.

رقم التردد	1	2	3	4
اتجاه	شرق - غرب	شمال - جنوب	دوراني	دوراني
قيمة التردد تحليلياً	3.7246	4.1275	5.7917	10.491

ترددات واتجاهات أنماط الاهتزاز الأساسية للبناء المرivet بتربيط معدني لا مرکزي وصلته القصبة بسمك 4-5 سم 7.5 سم موضحة في الجدول (2)، وأنماط اهتزازها مبينة في الشكل (11) للبناء المدعوم بتربيط لا مرکزي بصفحة سماكتها 5 سم.



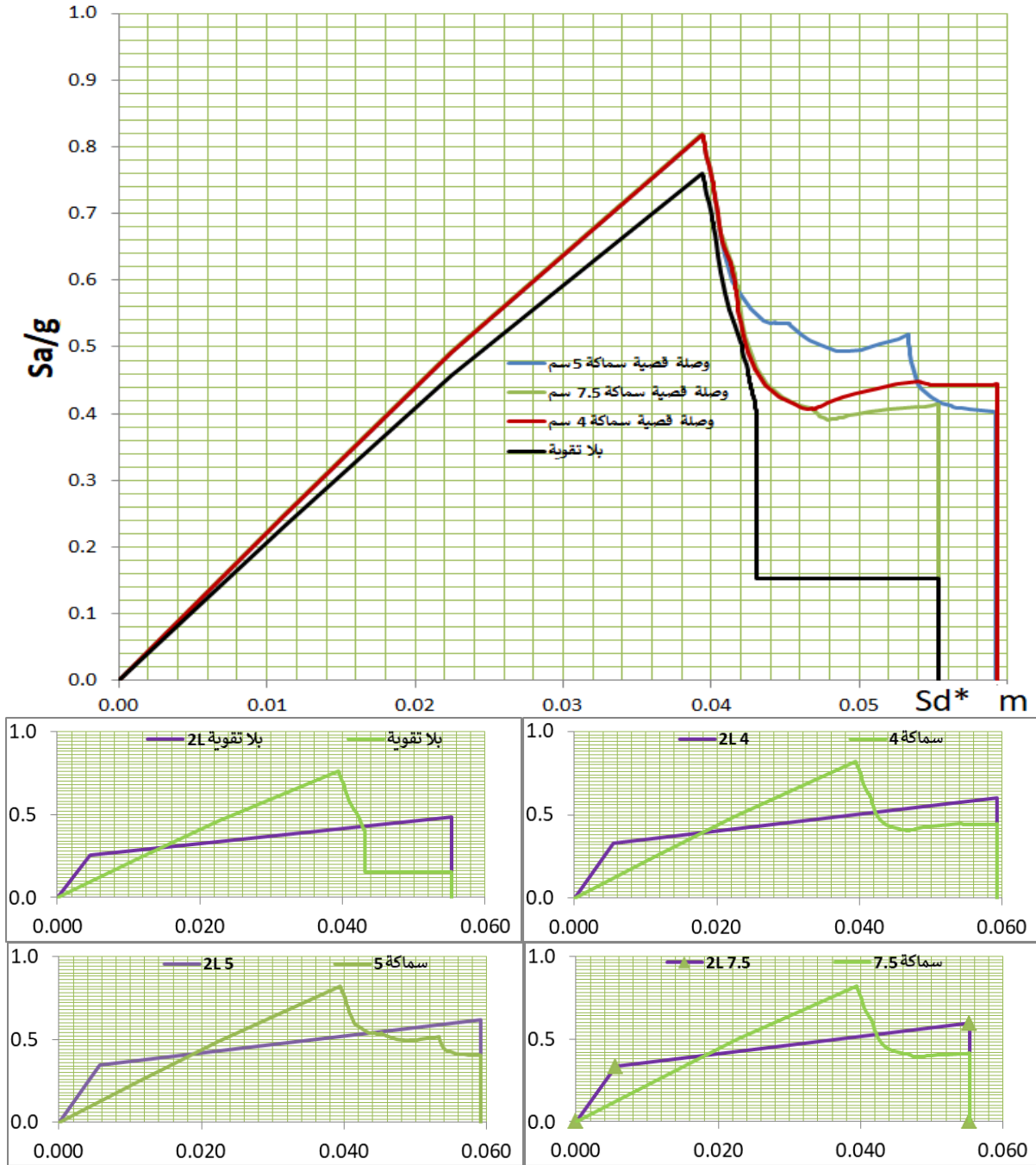
الشكل (11) أشكال وترددات أنماط الاهتزاز الأولى للبناء المدعم.

الجدول (2) ترددات النمط الأساسي للبناء المدعم بصفائح سماكتها 4-5-7.5 سم.

السماكة	7.5 سم	5 سم	4 سم
الاتجاه	شرق - غرب		
التردد الأساسي	3.8626	3.8581	3.8580

6-1- إيجاد منحي الاستطاعة للمنشأ:

تم باستخدام النموذج التحليلي تطبيق دفع جانبي N2 Pushoverفق FEMA 356 من خلال تطبيق إزاحة للسطح وثبتت الأساس وتحديد منحي المقاومة-الانتقال كما هو مبين في الشكل(12)، والمنحي ثانوي الخطية المكافئ له بحيث يكون ميل الخط الذي يعبر عن سلوك المنشأ في المرحلة المرنة يتواافق مع الدور الأساسي المحدد للبناء، والمساحة المحصرة تحت المخطط ثانوي الخطية تساوي المساحة المحصرة تحت مخطط استطاعة البناء القائم، وكذلك المساحة المحصرة تحت المخطط ثانوي الخطية المكافئ لمنحي استطاعة البناء المقوى متساوية للمساحة المحصرة تحت مخطط استطاعة البناء المقوى بالتربيط اللامركزي المقترن باستخدام كل سماكة من السماكات الثلاثة 4 سم و 5 سم 7.5 سم حيث يظهر كل شكل موضحاً عليه منحي الاستطاعة والمنحي ثانوي الخطية المكافئ له والذي يحصر تحته نفس المساحة.



الشكل (12) منحنيات الاستطاعة والمنحنيات ثنائية الخطية المكافئة لها للبناء بلا تقوية وبعد التقوية بالتربيط المقترن بالسماكات الثلاثة.

6-2- إيجاد عامل التحويل Γ :

سيتم إيجاد Γ لتحويل الانتقال متعدد درجات الحرية MDOF إلى جملة مكافئة وحيدة درجة الحرية SDOF حيث Φ_i وضع الإزاحة المعاير المطبق على كل طابق والنتائج من النموذج التحليلي بعد إجراء دفع أو إزاحة جانبية بقيمة أعظمية مساوية للواحد، أما M فهي كتلة الطابق كما هو مبين في الجدول (3).

والذي يمكن تلخيصه في الجدول (4) التالي:
الجدول (4) مستويات الأداء اعتماداً على قيم Sa و SD^*

مستوى الأداء (O) تشغيلي	المقارنة مع مؤشرات السيلان والانهيار $Sa < 0.7.Say$
إشعال فوري (IO)	$0.7. Say < Sa < Say$
سلامة الحياة	$Sa = Say \text{ and } SD^* < 0.75.Dm^*$
منع الانهيار (CP)	$Sa = Say \text{ and } 0.75.Dm^* < SD^* < Dm^*$
غير محقق (X)	$Sa = Say \text{ and } Dm^* < SD^*$

عامل القص، Sa عامل القص عند السيلان
 SD^* الانقال ، Dm^* الانقال الحدي .

7- تقييمات البناء المدعم بنظام تربيط لامركزي

بسم الله الرحمن الرحيم

إن العنصر الأهم في تبديد الطاقة هي الوصلة القصية وظهور التشوّهات الأفقية للطابق كاملاً في الوصلة القصية الموجودة فيه بينما عناصر التربط المتبقية تبقى في الحالة المرنّة، ونتيجة تركز التشوّهات فيها تبدو التشوّهات النسبية بشكل مضخم كما هو مبين في العلاقة (17):

$$\gamma = \theta p^*(H/e) \dots (17)$$

θp التشوه النسبي الطابقي.

γ التشوه النسبي في الوصلة القصية.

والشكل (14) يبيّن التشوّهات النسبية الطابقية وفي الوصلة القصية ضمن التربط المعدني الامركزي.

الجدول (3) Γ_x عامل تحويل جملة SDOF إلى MDOF

M	ϕX	$mi \phi i$	$mi \Phi_i^2$
5627770.23	1.000000	5627770	5627770
6136646.04	0.696669	4275211	2978407
6136646.04	0.395909	2429552	961881
6197170.7	0.138919	860902	119595
5845642	0.008918	52132	465
0	0.000000	0	0
29943875	$\sum i$	13245566	9688118
	Γ_x		1.367197

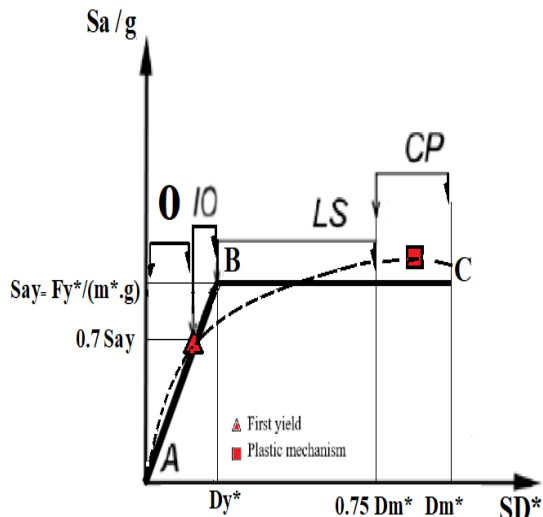
فمركبات النمط الأساسي المعاير بالاتجاه المدروس.
mi الكتلة الطابقية.

6-3- تحديد مستوى الأداء :

يتم إيجاد μ مطابقة المنشآت بالعلاقة (16):

$$\mu = \frac{\Delta_{max}}{\Delta y} = \frac{dm^*}{dy^*} \dots (16)$$

وتحديد مستوى الأداء بشكل مرتبط بقيم Say و Dy^* ، Dm^* ، للبني المكافئ SDOF كما يبيّن الشكل (13) :

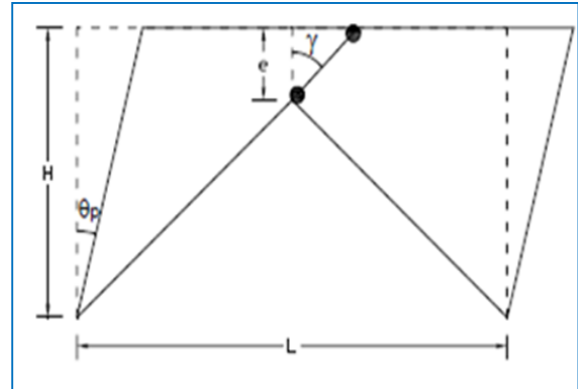


الشكل (13) مستوى الأداء وفق Sa ، SD^* (Fajfar, P,2000)

هذا النوع من التقوية حساس جداً ويطلب استخدامه دقة في التحليل والتقييم والتصميم واستخدام بشكل صحيح للتقوية المفيدة للنقوية التي توافق خصائص ونموذج المنشآت كما يجب تركيبها في المكان المناسب، ولذلك تعتبر عملية معقدة وأصعب من تصميم وتنفيذ إنشاء جديد، كما يجب أن تترافق مع معالجة الضعف الموضعي كي لا يؤدي إلى ضعف في الأداء العام.

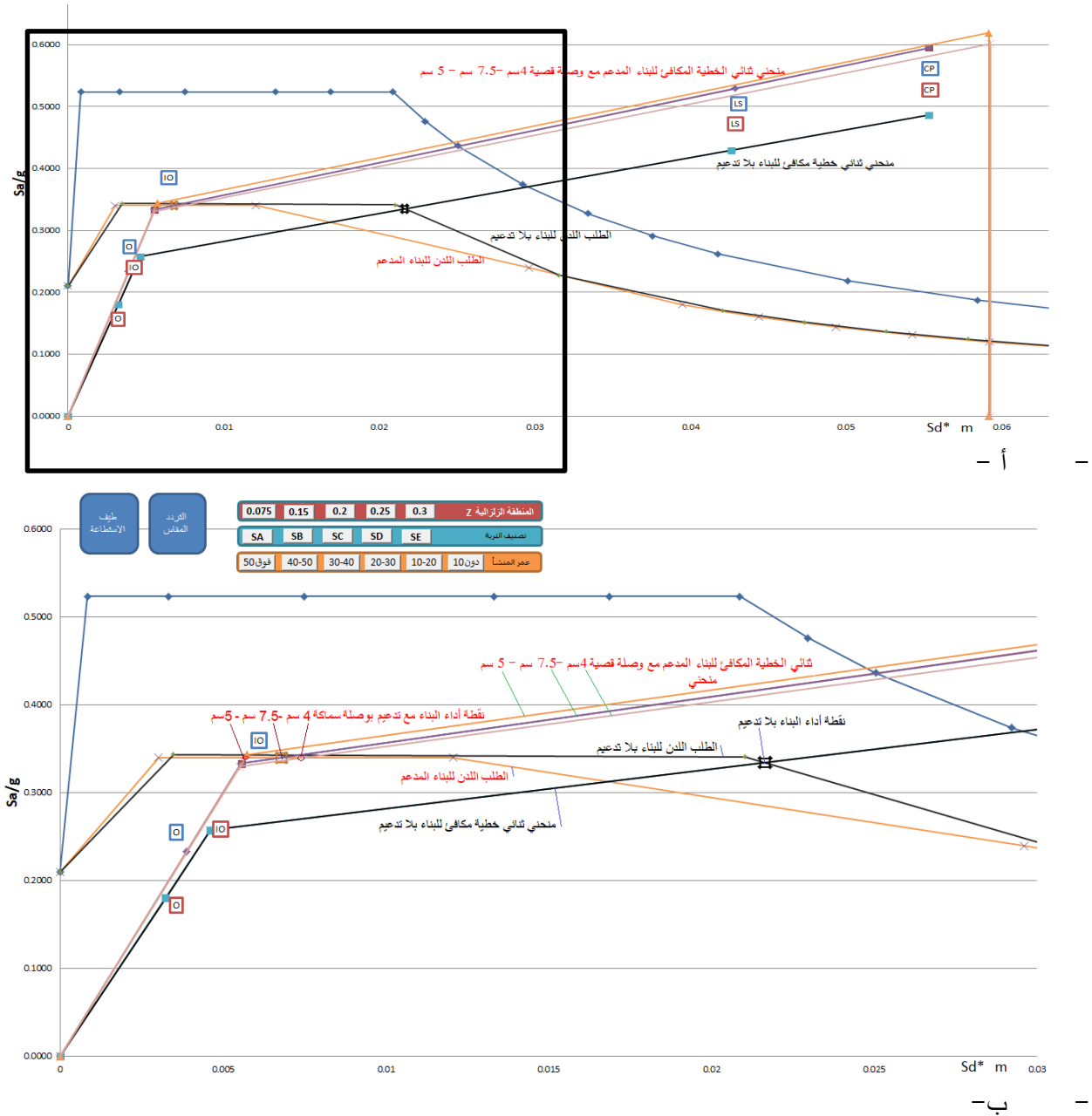
وقد تبين من خلال مراجعة الكودات وجود إطار لعملية التقوية دون إعطاء تصميم تفصيلي أو إجراءات تفصيلية للتقوية، حيث يمكن إدخال أثر الفتل بإيجاد الانزياح الطابقي لنموذج ثلاثي الأبعاد بتطبيق انزياح متزايد للسقف، ومنه يمكن معرفة الطلب الزلالي في جميع أنحاء الهيكل بشكل مناسب مع التشوهات في كل عقدة متضمنة تأثير التضخيم الناتج عن الفتل (Rai, D. C, 2005).

بتطبيق دفع جانبي على السطح بالاتجاه X للبناء الأصلي دون تدعيم وللبناء المدعم بالتربيط المقترن بثلاث سماكات للوصلة القصبية 4، 5، 7.5 سم للمقارنة بينها، حيث تم لكل حالة إيجاد العلاقة بين المقاومة والتشوه والذي هو منحنى الاستطاعة لكل منها، ثم إيجاد المنحنى ثانوي الخطية المكافئ لكل منها بحيث يتم إيجاد المطاوعة μ للبناء المدعم بتربيط لا مرکزي بالسماكات الثلاثة 4، 5، 7.5 سم وللبناء الأصلي، ثم رسم منحنى الطلب اللدن الموافق للمطاوعة ذات القيمة μ لكل منها، وإيجاد نقطة الأداء كما هو مبين في الشكل (15) والتحقق من مستويات الأداء وفق الجدول (5) للبناء الماء دروس.



الشكل(14) التشوهات النسبية في نظام التربيط اللامركزي.

تركب الوصلة وسط الجائز وعند انزياح الجائز الموصول مع أعلىها بشكل عرضي تتشكل فيها قوى قاسية ناتجة عن قساوتها، وتنتقل إلى عناصر التربيط المائلة المركبة عند طرف الوصلة السفلي ليتم إرساءها عند القاعدة، ونتيجة للتضخيم وتركز التشوهات في هذه الوصلة القصيرة تظهر اجهادات كبيرة، ويحدث فيها تل敦 يسهم في تبديد الطاقة الزلالية، ويسهم العزم المتشكل في هذا المفصل اللدن في تتعديل توزيع القوى والإجهادات، ويمكن أن يوازن التربيط توزع القساوة فيقلل اللامركزية الكتالية ويسهل توزيع القوى ويزيد من مطاوعة البناء ومن مقاومة البناء من غير زيادة كبيرة في القساوة ومن مقاومة العزوم ومن تحمل القوى الزلالية، كما أن إضافة وسائل تبديد الطاقة المتمثلة في الصفائح المتلازنة في التربيط اللامركزي يقلل الطلب على الانتقال، لذلك هي فعالة في المنشآت التي تشوهها اللدن محدود وهي حساسة للتشوهات بسبب فقر التفاصيل الإنسانية، لذلك فهو مناسب لتحسين أداء البناء (Moehle, 2000).



الشكل(15)-أ- تقاطع المنحني ثالٍ الخطية مع منحنى الطلب اللدن للبناء المدمر بصفائح سماكتها 4-5-7.5 مم.

ب- تكبير للنافذة المشار إليها يوضح موقع نقاط الأداء ومستويات أدائها.

الجدول (5) مستويات الأداء للمنشأ قبل وبعد التقوية بنظام تربيط لا مركزى مع وصلة قصبة سماكة 4 - 5 - 7.5 سم.

		مع وصلة قصبة سماكة 5 سم	مع وصلة قصبة سماكة 7.5 سم	مع وصلة قصبة سماكة 4 سم	بلا
قوة السيلان المعمم	Fy* (KN)	4554	4418	4371	3412
الانتقال الأعظمي *	Dm* (m)	0.059180	0.055325	0.059284	0.055325
الطاقة المبددة *	Em* (KJ)	353.9368	318.2746	343.9636	257.7795
انتقال السيلان *	Dy* (m)	0.005740	0.005555	0.005509	0.004614
القوة المعممة *	f*	4554136	4417674	4370795	3411593
الكتلة *	m*	1350211	1350211	1350211	1350211
الفساوة *	k*	793429277	795299200	793398166	739469965
التردد *	f0*	3.85810	3.86264	3.85802	3.72460
الدور المرن *	T* (sec)	0.259195	0.258890	0.259200	0.268485
عامل التخفيف	R μ	1.54151	1.55105	1.53796	1.55283
المطواة	μ	10.31037	9.96000	10.76146	9.34089
الانتقال المعمم لنقطة الأداء	SD* 0.25	0.005686	0.006790	0.007761	0.021647
انتقال نقطة الأداء	SD 0.25	0.007773	0.009283	0.010611	0.029595
نسبة انتقال نقطة الأداء لانتقال السيلان	SD* 0.25/DY*	%99	%122	%141	%469
حق الأداء مرن أم غير مرن	VERIFY 0.25	elastic	inelastic	Inelastic	Inelastic
نسبة الانتقال اللدن لأقصى انتقال لدن	(SD* 0.25-DY*) /(Dm*-DY*)	-	%2.5	%4.2	%44.3
المستوى المحقق	VERIFY LEVEL	IO	LS	LS	LS

في مستوى LS (لأن نقطة الأداء وقعت في المجال غير المرن وكانت نسبة الانتقال اللدن لأقصى انتقال لدن أصغر من 75%) كما هو مبين في الجدول (5)، وبذلك حققت السماكة 5 سم أفضل أداء من خلال تعديل اللامركزية وتحسين تبديد الطاقة وتقليل الضرر والطلب على التشوه ورفع مستوى السلامة الزلزالية.

8- النتائج:

- 1 تم تحديد الترددات الأربع الأوليّة السائدّة للمنشأ 3. القائم ببرنامـج ABAQUS 6.14-1 ، فكانت / .10.49Hz,5.79Hz,4.12Hz,72Hz

عند تركيب نظام التقوية المعدنية المقترن زادت الصلابة، والتشوه الأعظمي وزاد تبديد الطاقة بسبب الكفاءة العالية لنظام التقوية المقترن، مما قلل الطلب ومستوى الضرر وحسن الأداء في الاتجاه X، ويمكن المفاضلة بين سماكات مختلفة للوصلة القصبة وتحديد ذات الكفاءة الأعلى بينها، والتي حققت أفضل تحسين للأداء للبناء بعد التقوية، وذلك حسب موقع نقطة الأداء على منحنى الاستطاعة ومستوى الأداء المحقق، حيث ظهر أنه باستخدام وصلة قصبة سماكتها 5 سم أصبح مستوى إشغال فوري مما يبيّن أنه أفضل من كل من السماكتين 4 سم و 7.5 سم اللتان أبقتا

- تأهيل بناء بيتوني مسلح باستخدام تربيط معدني لا مركزى
 2- بينما لم يتحسن مستوى الأداء عن مستوى حفظ الحياة عند استخدام سماكة 7.5 أو 4 سم، وساعد برنامج (VBA) في تقييم الأداء بشكل رقمي دقيق بواجهة تفاعلية (Excell) لأغراض صنع القرار.
- التمويل:** هذا البحث ممول من جامعة دمشق وفق رقم التمويل(501100020595).
- تم تطوير منهجية للتقييم الدقيق للمنشأ بالطريقة المحسنة باستخدام معايير الموقع -العمر المتبقى -تربة التأسيس.
- تم تقييم الأداء الزلالي للمبنى غير المدعם وفق منهجية المطورة وكان في مستوى امان الحياة.
- أمكن تحديد سماكة الوصلة القصبة التي تحقق أفضل تحسين للأداء وأعلى تبديد للطاقة فكانت بسماكة 5سم، والتي أفادت في رفع مستوى الأداء إلى إشغال فوري

References:

- 1- American Society of Civil Engineers. (2017, December). Seismic evaluation and retrofit of existing buildings. American Society of Civil Engineers.
- 2- Azad, SK., Topkaya, C., (2017), A review of research on steel eccentrically braced frames, Journal of constructional steel research, 128, 53-73, 21P.
- 3- Comartin, C., Niewiarowski, R., & Rojahn, C. (1996). ATC-40 Seismic evaluation and retrofit of concrete buildings. SSC 96, 1. , 334p.
- 4- Durucan, C., & Dicleli, M. (2010). Analytical study on seismic retrofitting of reinforced concrete buildings using steel braces with shear link. Engineering Structures, 32(10), 2995-3010.
- 5- Fajfar, P. (2000). A nonlinear analysis method for performance-based seismic design. Earthquake spectra, 16(3), 573-592., 20 P.
- 6- Fema, A. (2005). 440, Improvement of nonlinear static seismic analysis procedures. FEMA-440, Redwood City, 7(9), 11, 392.
- 7- Moehle .P, 2000-State of Research on Seismic Retrofit of Concrete Building Structures in the US. University of California, Berkeley, 16p.
- 8- Prestandard, F.E.M.A. (2000). commentary for the seismic rehabilitation of buildings (FEMA356). Washington, DC: Federal Emergency Management Agency, 7, 2. , 518.
- 9- Rai, D. C. (2005). Review of documents on seismic evaluation of existing buildings. Department of Civil Engineering, Indian Institute of Technology Kanpur India.